

STUDI ANALISIS PENGARUH PERKUATAN SAMBUNGAN PADA STRUKTUR JEMBATAN RANGKA CANAI DINGIN TERHADAP LENDUTAN

Billy Wijaya Hidayatullah, Roland Martin Simatupang, Desy Setyowulan

Jurusan Teknik Sipil Fakultas Teknik Universitas Brawijaya
Jl. MT. Haryono 167 Malang, 65145, Jawa Timur – Indonesia
Email: alifalfiantoo@yahoo.co.id

ABSTRAK

Jembatan rangka baja canai dingin hanya diperuntukkan untuk pejalan kaki. Jembatan rangka merupakan sebuah jembatan yang terdiri dari batang-batang yang dihubungkan dengan sambungan sendi hingga membentuk rangka segitiga yang akan mengalami tegangan akibat gaya tarik, gaya tekan, atau kadang-kadang keduanya jika terkena beban-beban dinamis. Material baja canai dingin atau *cold formed* adalah suatu komponen struktur yang terbuat dari lembaran-lembaran baja yang diproses dengan bentuk-bentuk profil tertentu menggunakan proses *press-braking* atau *roll forming*. Material baja ringan yang merupakan komponen yang tipis, ringan dan mudah dalam penggerahan bila dibandingkan dengan material baja biasa (*hot rolled*).

Dalam studi ini akan dilakukan sebuah analisis jembatan rangka dengan material baja ringan canai dingin. Analisis yang akan dilakukan pada studi ini yaitu dengan menggunakan bantuan *software SAP 2000*. Dalam analisisnya terbatas pada 2 dimensi sehingga analisis yang dilakukan hanya pada struktur rangka batang tanpa ikatan angin dan struktur melintangnya. Terdapat 3 model rangka batang yang dianalisis yaitu struktur jembatan rangka tanpa perkuatan, struktur jembatan rangka dengan perkuatan 50 cm, dan struktur jembatan rangka dengan perkuatan 70 cm.

Kata kunci: jembatan rangka, perkuatan sambungan, canai dingin.

ABSTRACT

Cold rolled steel truss bridge is reserved for pedestrians only. The bridge is a bridge framework consisting of rods connected by pin connection to form a triangular frame that will experience stress due to the tensile force, compressive force, or sometimes both when exposed to dynamic loads. Material cold rolled steel or cold formed is a structural component made of sheets of steel are processed forms of a specific profile using the press-braking or roll forming. Mild steel material which is a component that is thin, light and easy in progress when compared with the usual steel material (*hot rolled*).

This study will be an analysis of bridge frame with dingi rolled mild steel material. The analysis will be performed on this study is to use the help of SAP software 2000. In its analysis is limited to two dimensions so that the analysis is done only on the truss without bond wind and transverse structure. There are 3 models of trusses are analyzed without strengthening the framework bridge structure, bridge structure reinforcement frame by 50 cm, and the bridge structure reinforcement frame with 70 cm.

Keywords: bridge framework, strengthening the connection, cold rolled.



PENDAHULUAN

Berdasarkan Peraturan Pemerintah Republik Indonesia Nomor 34 Tahun 2006 tentang Jalan, yang dimaksud dengan jembatan adalah jalan yang terletak di atas permukaan air dan atau di atas permukaan tanah. Dari definisi jembatan tersebut dapat disimpulkan bahwa suatu jembatan merupakan infrastruktur yang berfungsi sebagai penghubung antar wilayah untuk melewati suatu hambatan seperti sungai, lembah, jurang, dan sebagainya. Sehingga diharapkan dapat mempercepat serta memperlancar laju program pembangunan diberbagai bidang.

Dan pada saat ini dengan seiringnya zaman material baja (*Hot Rolled*) telah digantikan oleh material baru yakni material baja ringan (*Cold Formed*). Dengan beberapa keunggulan, yaitu kuat namun ringan dibandingkan dengan material baja (*Hot Rolled*). Untuk saat ini, pemakaian baja ringan itu sendiri digunakan untuk rangka plafond, rangka atap, dan rangka bangunan.

Struktur baja ringan adalah komponen struktur yang terbuat dari lembaran baja yang di proses dengan bentuk-bentuk profil tertentu menggunakan proses *press-braking* atau *roll forming*. Pada pembuatan baja ringan suhu yang tinggi tidak diperlukan seperti halnya dalam pembuatan baja *hot rolled*, sehingga penyebutan baja ringan ini adalah *cold formed*. Pada umumnya baja *cold-formed* merupakan komponen yang ringan, tipis, mudah dalam penggerjaan dibandingkan dengan baja *hot-rolled* (Mutawalli,2007).

Jembatan yang didesain tersebut digunakan untuk pejalan kaki sehingga beban yang dirancang tidak seberat jembatan baja. Dalam perakitan jembatan sebenarnya, dapat dipastikan terdapat beberapa sambungan dalam satu rangkaian struktur jembatan. Namun untuk analisis sambungan pada jembatan canai dingin tersebut masih belum banyak dibahas oleh, karena itu penulis ingin meneliti lebih lanjut mengenai analisis pengaruh perkuatan sambungan pada jembatan rangka canai dingin terhadap lendutan.

TINJAUAN PUSTAKA

Jenis-jenis jembatan

Jembatan merupakan salah satu sarana prasarana transportasi penunjang aktivitas sebuah daerah. Setiap daerah memiliki topografi dan geografi yang berbeda-beda sehingga penentuan jenis sebuah jembatan sangat dibutuhkan agar sesuai kebutuhan dan dapat memperlancar jalannya proses konstruksi. Menurut Siyoum (2007), jenis-jenis jembatan dapat diklasifikasikan dalam beberapa kriteria yang berbeda, yaitu:

1. Klasifikasi berdasarkan fungsi:

- Jembatan Jalan Raya (*Highway Bridge*)
- Jembatan Pejalan Kaki (*Pedestrian Bridge*)
- Jembatan Jalan Kereta Api (*Rail-Road Bridge*)
- Jembatan Untuk Saluran Air (*Waterway Bridge*)

2. Klasifikasi berdasarkan material yang digunakan:

- Jembatan Baja (*Steel Bridge*)
- Jembatan Beton (*Concrete Bridge*)
- Jembatan Beton Prategang (*Prestressed Concrete Bridge*)
- Jembatan Kayu (*Wood Bridge*)
- Jembatan Komposit (*Compcite Bridge*)
- Jembatan Pasangan Batu Kali atau Bata

3. Klasifikasi berdasarkan letak lantai jembatan:

- *Deck Bridge*
- *Through Bridge*
- *Semi Through Bridge*

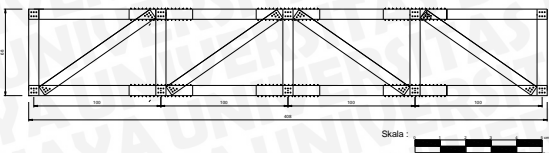
4. Klasifikasi berdasarkan sistem struktur:

- Jembatan Plat Beton (*Slab Bridge*)
- Jembatan Gelagar T-beam
- Jembatan Rangka (*Truss Bridge*)
- Jembatan Komposit (*Composite Bridge*)
- Jembatan Suspensi (*Suspension Bridge*)

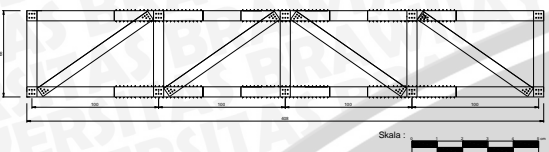
Jembatan Rangka

Jembatan rangka merupakan sebuah jembatan yang terdiri dari batang-batang yang dihubungkan dengan sambungan sendi hingga membentuk rangka segitiga yang akan mengalami tegangan akibat gaya tarik, gaya tekan, atau kadang-kadang keduanya jika terkena beban-beban dinamis.

Struktur rangka batang tersusun atas tiga batang lurus yang saling terhubung dan ujung-ujungnya membentuk suatu pola segitiga. Susunan segitiga ini menghasilkan struktur yang stabil sehingga tidak akan mengalami perubahan bentuk apabila menerima beban tetap. Deformasi yang terjadi pada struktur yang stabil ini adalah minor dan diasosiasikan dengan perubahan panjang batang akibat gaya dalam batang tersebut yang diakibatkan oleh beban luar. Selain itu juga struktur ini tidak mengalami perubahan sudut diantara dua batang. Rangka batang tidak mengalami momen

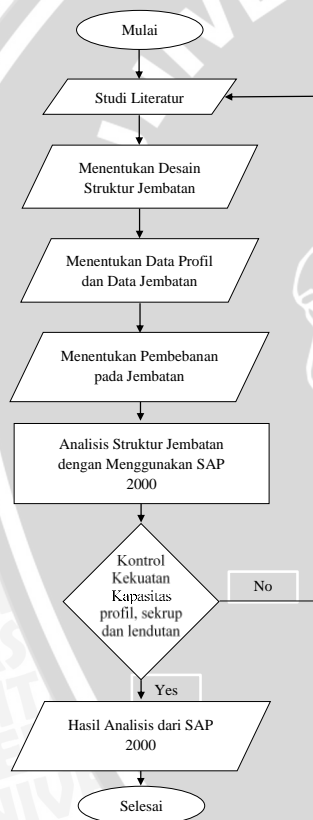


Gambar 2 Model 2 Dengan Sambungan panjang
50cm



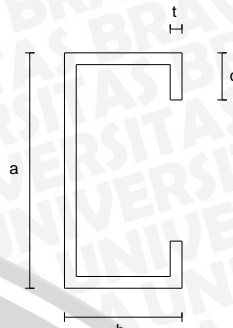
Gambar 3 Model 3 Dengan Sambungan panjang
70cm

Flowchart



PEMBAHASAN

Data Bahan Baja Ringan Profil C 80.35.0,75.0,75



Data Profil :

Tinggi Profil	:	80	mm
Lebar Profil	:	35	mm
Tebal Profil	:	0,75	mm
Luas Profil	:	123,4795	mm ²
Momen Inersia arah x (I _x)	:	126593,9	mm ⁴
Momen Inersia arah y (I _y)	:	21345,092	mm ⁴
Area Geser arah y (A _y)	:	57,375	mm ²
Area Geser arah z (A _z)	:	47,25	mm ²
Section Modulus arah x (S _x)	:	3164,8474	mm ³
Section Modulus arah y (S _y)	:	899,0847	mm ³
Plastic Modulus arah x (Z _x)	:	3164,8474	mm ³
Plastic Modulus arah y (Z _y)	:	899,0847	mm ³
Radius of Gyration arah x (r _x)	:	32,0191	mm
Radius of Gyration arah y (r _y)	:	13,1478	mm
Mutu Bahan G550	f _u	: 550	MPa
	f _y	: 550	Mpa

4.2 Analisis Kapasitas Penampang

4.2.1 Kapasitas Tarik

- Luas bruto penampang (A_g)
 $A_g = 123,4795 \text{ mm}^2$
 - Kekuatan tarik untuk desain (SNI 7971 pasal 1.5.1.4 (b)):
 $f_u = 550 \text{ MPa}$
 - Tegangan leleh untuk desain (SNI 7971 pasal 1.5.1.4 (b)):
$$\begin{aligned}f_y &= 90\% \times f_u \\&= 0,9 \times 550 \\&= 495 \text{ MPa}\end{aligned}$$
 - Svarat desain Tarik (SNI 7971 Pasal 3.2.1) :

$$N_i^* \leq \phi N_i \quad (2-2)$$

$$N_t = A_g \cdot f_y = 123,4795 \cdot 495 = 61122,3525 \text{ N}$$

$$N_t = 0.85 k_t A_n f_u \dots \quad (2-4)$$

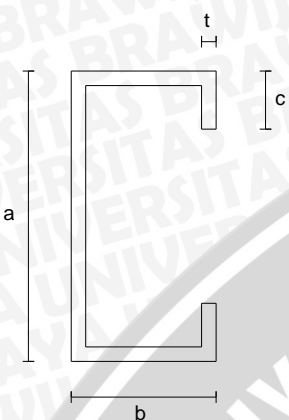
$$N_t^* \leq \phi_t N_t \dots \quad (2-2)$$

$$\leq 0,9 \cdot 46206,5663$$

$$\leq 41585,91 \text{ N}$$

» Maka nilai kapasitas tarik maksimum untuk baja ringan tersebut adalah **41585,91 N**

4.2.2 Kapasitas Tekan



Diketahui :

bf	= 35	mm
a	= 80	mm
b	= 35	mm
c	= 10	mm
Ix	= 126593,9	mm ⁴
A	= 123,4795	mm ²
t	= 0,75	mm
rx	= 32,0191	mm
ry	= 13,1478	mm
l	= 1000	mm

Sesuai peraturan SNI 7971 pasal 1.5.1.4 maka nilai f_y sebesar 90% dari nilai yang sebenarnya maka

$$f_y = 550 \times 90\% \\ = 495 \text{ Mpa}$$

- Mencari nilai jarak pusat geser (y_0 ; x_0) yang sesuai dengan peraturan SNI tabel E1 :

$$x_0 = \frac{\frac{b \cdot t \cdot (b+2c)}{A} + \frac{b \cdot t}{12 \cdot I_x} (6 \cdot c \cdot a^2 + 3 \cdot b \cdot a^2 - b \cdot c^3)}{}$$

$$= \frac{35 \cdot 0,75 \cdot (35 + 2 \cdot 10)}{123,4795}$$

$$+ \frac{35 \cdot 0,75}{12 \cdot 126593,9} (6 \cdot 10$$

$$\cdot 80^2 + 3 \cdot 35 \cdot 80^2 - 35$$

$$\cdot 10^3)$$

- Mencari nilai radius girasi (r_{01}) pada penampang terhadap pusat geser yang sesuai dengan peraturan SNI pasal 3.3.3.2(10) :

- Mencari nilai konstanta puntir terhadap lengkung untuk penampang dalam peraturan SNI pasal E2 :

$$m = \frac{a^2.b^{2.t}}{I_x} \cdot \left(\frac{1}{4} + \frac{c}{2.b} + \frac{2.c^3}{3.a^2.b} \right) \dots \dots \dots (2-12)$$

$$m = 18.386$$

$$Iw = \frac{b^2 \cdot t}{6} \cdot (4 \cdot c^3 + 6 \cdot a \cdot c^2 + 3 \cdot a^2 \cdot c +$$

$$\begin{aligned}
 & a^2 \cdot b) \cdot m^2 \cdot Ix \\
 & = \frac{35^2 \cdot 0,75}{6} \cdot (4 \cdot 10^3 + 6,80 \cdot 10^2 \\
 & + 3,80^2 \cdot 10 \\
 & + 80^2 \cdot 35) \cdot 18,386^2 \cdot 126593,9 \\
 & = 3,067 \cdot 10^{15}
 \end{aligned}$$

Mencari nilai konstanta torsi (J) untuk penampang yang sesuai dengan Peraturan SNI pasal E1 (dalam catatan pasal E1) :

- Perhitungan tegangan tekuk elastis (f_{0x}) arah x pada struktur yang sesuai dengan peraturan SNI pasal 3.3.3.2(14) :

$$f_{0x} = \frac{\pi^2 E}{(l/r_x)^2} \quad \dots \dots \dots \quad (2-15)$$

- Perhitungan tegangan tekuk elastis (f_{0z}) arah z pada struktur tekan yang sesuai dengan peraturan SNI pasal 3.3.3.2(12) :

$$f_{0z} = \frac{G \cdot J}{A \cdot r_{01}^2} \left(1 + \frac{\pi^2 \cdot E \cdot I_w}{G \cdot J \cdot l^2} \right) \dots \dots \dots (2-16)$$

$$= \frac{8 \cdot 10^4 \cdot 6,328}{123,4795 \cdot 45,372^2} \left(1 + \frac{\pi^2 \cdot 2 \cdot 10^5 \cdot 3,067 \cdot 10^{15}}{8 \cdot 10^4 \cdot 6,328 \cdot 1000^2} \right)$$

$$\equiv 2,382 \cdot 10^{10} \text{ Mpa}$$

- Perhitungan tegangan tekuk lateral (foc) pada struktur yang sesuai dengan peraturan SNI pasal 3.4.3 ;

$$\beta = 1 - \left(\frac{x_0}{r_{\text{ext}}} \right)^2 \dots \quad (2-18)$$

$$\begin{aligned}
 &= 1 - \left(\frac{29,335}{45,372} \right)^2 \\
 &= 0,582 \\
 foc &= \frac{1}{2\beta} [(fox + foz) - \\
 &\quad \sqrt{(fox + foz)^2 - 4\beta \cdot fox \cdot foz}] \dots\dots(2-17) \\
 &= \frac{1}{2 \cdot 0,582} [(2023,709 + 2,382 \cdot 10^{10}) \\
 &\quad - \sqrt{(2023,709 + 2,382 \cdot 10^{10})^2 - 4 \cdot 0,582 \cdot 2023,709 \cdot 2,382 \cdot 10^{10}}] \\
 &= 2023,709 \text{ MPa} \\
 foc &= foxz = \frac{foz \cdot fox}{(foz + fox)} \\
 &= \frac{(2,382 \cdot 10^{10} \cdot 2023,709)}{(2,382 \cdot 10^{10} + 2023,709)} \\
 &= 2023,709 \text{ MPa}
 \end{aligned}$$

» Maka nilai tegangan tekuk lateral (foc) yang diambil adalah **2023,709 MPa**

- Perhitungan untuk mencari nilai tegangan kritis (f_n)

- Perhitungan rasio kelangsungan

$$\lambda_c = \sqrt{\frac{f_y}{f_{oc}}} = \sqrt{\frac{495}{2023,709}} = 0,4946 \dots(2-10)$$

Dengan nilai $\lambda_c \leq 1,5$ maka persamaan untuk mencari nilai tegangan kritis (f_n) sesuai dengan SNI pasal 3.4.1(5) adalah

$$f_n = (0,658^{\lambda_c^2}) f_y \dots\dots(2-8)$$

$$f_n = (0,658^{0,4946^2}) \cdot 495$$

$$f_n = 446,826 \text{ MPa}$$

- Mencari nilai kapasitas tekan (N^*) sesuai SNI pasal 3.4.1

- Perhitungan luas efektif

$$A_e = A_n - 2(d_f \cdot t_f)$$

$$A_e = 123,4795 - 2(4,8 \cdot 0,75)$$

$$A_e = 116,2795 \text{ mm}^2$$

- Kapasitas penampang nominal (N_s) dalam komponen struktur tekan

$$N_s = A_e \cdot f_y$$

$$N_s = 116,2795 \cdot 495$$

$$N_s = 57558,3525 \text{ N}$$

- Kapasitas komponen struktur nominal (N_c) dari komponen struktur dalam tekan

$$N_c = A_e \cdot f_n$$

$$= 116,2795 \cdot 446,826$$

$$= 51956,704 \text{ N}$$

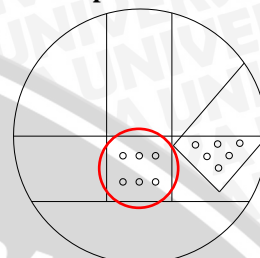
Dari hasil perhitungan diatas didapat nilai kapasitas dari komponen struktur tekan. Sehingga perhitungan untuk kapasitas nominal desain dari struktur tekan tersebut yaitu :

$$\begin{aligned}
 N^* &\leq \phi_c \cdot N_s \dots\dots(2-6) \\
 &\leq 0,85 \cdot 57558,3525
 \end{aligned}$$

$$\begin{aligned}
 &\leq 48924,6 \text{ N} \\
 N^* &\leq \phi_c \cdot N_c \dots\dots(2-7) \\
 &\leq 0,85 \cdot 51956,704 \\
 &\leq 44163,198 \text{ N} \\
 \gg \text{Maka kapasitas tekan nominal penampang adalah } 44163,198 \text{ N}
 \end{aligned}$$

Analisis Sambungan Sekrup

Sambungan 6 Sekrup



Diketahui :

Diameter sekrup : 4,8 mm

Diameter kepala ring dan sekrup : 12,192 mm

Kapasitas tegangan leleh (f_y) : 550 Mpa

Kapasitas tegangan tarik (f_u) : $550 \cdot 90\% = 495$ Mpa

Perhitungan luas profil : 123,4795 mm²

Pemeriksaan jarak

- Persyaratan umum (sesuai SNI pasal 5.4.1):

$$3,0 \text{ mm} \leq d_f \leq 7,0 \text{ mm}$$

$$3,0 \text{ mm} \leq 4,8 \leq 7,0 \text{ mm}$$

- Sambungan sekrup dalam geser (sesuai SNI pasal 5.4.2.1):

Jarak minimum : $32 \text{ mm} > 3 \cdot d_f$

(Pusat - pusat) : $32 \text{ mm} > 3 \cdot 4,8$

: $32 \text{ mm} > 14,4 \text{ mm}$

Jarak tepi : $24 \text{ mm} > 3 \cdot d_f$

(Pusat - Tepi) : $24 \text{ mm} > 3 \cdot 4,8$

: $24 \text{ mm} > 14,4 \text{ mm}$

- Sambungan sekrup dalam tarik (sesuai SNI pasal 5.4.3.1)

Jarak minimum : $24 \text{ mm} > 3 \cdot d_f$

(Pusat - tepi) : $24 \text{ mm} > 3 \cdot 4,8$

: $24 \text{ mm} > 14,4 \text{ mm}$

Analisis sambungan dalam geser

Tarik pada bagian tersambung

- Perhitungan luas netto

$$\begin{aligned}
 A_n &= A_g - 3 \cdot d_f \cdot t_f \\
 &= 123,4795 - 3 \cdot 4,8 \cdot 0,75 \\
 &= 112,6795 \text{ mm}^2
 \end{aligned}$$

- Kapasitas Tarik (N_t^*) dari sambungan sekrup dalam geser (SNI pasal 5.4.2.2)

$$\begin{aligned}
 N_t^* &\leq \phi N_t \dots\dots(2-19) \\
 &\leq 0,65 \cdot A_n \cdot f_u \\
 &\leq 0,65 \cdot 112,6795 \cdot 495 \\
 &\leq 36254,629 \text{ N}
 \end{aligned}$$

3.2 Saran

Berikut merupakan beberapa saran-saran dalam menganalisis menggunakan SAP 2000 yang perlu diperhatikan yaitu

1. Butuh ketelitian dalam menentukan setiap koordinat-kordinat yang berfungsi dalam pembuatan model struktur jembatan rangka.
2. Teliti dalam menentukan satuan saat menggunakan software SAP 2000.
3. Teliti dalam input material serta dimensi profil yang digunakan.
4. Perhitungan momen inersia dan area geser pada SAP 2000 dihitung secara manual.
5. Studi ini dapat dijadikan referensi untuk studi selanjutnya mengenai analisis pengaruh sambungan pada struktur jembatan rangka canai dingin.

DAFTAR PUSTAKA

- Ariestiadi, D. 2008. *Teknik Struktur Bangunan*. Direktorat Jenderal Manajemen Pendidikan Dasar dan Menengah.
Badan Standarisasi Nasional (BSN). 2013. *Struktur Baja Canai Dingin SNI 7971-2013*. Jakarta.

Mutawalli M. 2007. *Stabilitas Sambungan Struktur Baja Ringan SMART FRAME Type-T Terhadap Beban Siklik Pada Rumah Sederhana Tahan Gempa*, Tesis Program Pasca Sarjana. UGM Yogyakarta

L Schodek, D. 1998. *Struktur*. Bandung: PT Eresco.
RSNI-T-02. 2005. *Pembebanan Untuk Jembatan*. Jakarta: Badan Standarisasi Nasional.

RSNI-T-03. 2005. *Perencanaan Struktur Baja Untuk Jembatan*. Jakarta: Badan Standarisasi Nasional.

Setiawan, Agus. 2008. *Perencanaan Struktur Baja Dengan Metode LRFD (Sesuai SNI-03-1729-2002)*. Jakarta: Penerbit Erlangga.

Siyoum, Tihitina.2007.*Analysis and Design of Assembled Steel Truss.(M.Sc Thesis)*. Addis Ababa University.

Supriyadi B. & Muntohar A.S. 2007. *Jembatan*. Yoyakarta: Beta Offset.

SNI-03-1729. 2002. *SNI03-1729*. Jakarta: Dinas Pekerjaan Umum.

SNI-7971. 2013. *Struktur Baja-canai Dingin*. Jakarta: Badan Standarisasi Nasional.

